

01,13,19

Сила трения и радиационный теплообмен в системе двух параллельных пластин при их относительном движении: следствия теории Левина–Полевого–Рытова

© Г.В. Дедков, А.А. Кясов

Кабардино-Балкарский государственный университет,
Нальчик, Россия

E-mail: gv_dedkov@mail.ru

(Поступила в Редакцию 27 февраля 2018 г.)

В окончательной редакции 23 мая 2018 г.)

Показано, что фундаментальные результаты, полученные в работах Левина, Полевого, Рытова (1980) и Полевого (1990), базирующиеся на теории электромагнитных флуктуаций Левина и Рытова, адекватно описывают скорость радиационного теплообмена и силу трения в системе двух толстых параллельных пластин, находящихся в относительном движении, в полном согласии с более поздними результатами других авторов. Численные оценки величины силы трения для хороших металлов в приближении Друде оказываются в 10^7 раз выше первоначальной оценки Полевого, причем сила трения возрастает с увеличением проводимости пластин (увеличением времени релаксации электронов при понижении температуры).

DOI: 10.21883/FTT.2018.12.46718.043

1. Введение

Флуктуационно-электромагнитная теория Левина и Рытова [1] является развитием теории Рытова [2]. В [1], спектр электромагнитных флуктуаций нагретого тела на произвольном расстоянии от него выражается через смешанные потери двух точечных дипольных источников, находящихся вблизи тела, которые находятся в результате решения регулярной электродинамической задачи. Это является сущностью обобщенного закона Кирхгофа, представляющего форму флуктуационно-диссипационной теоремы.

В рамках теории [1] были получены выражения для скорости радиационного теплообмена между двумя полубесконечными средами (толстыми пластинами), разделенными плоской вакуумной щелью конечной ширины [3,4], а также диссипативной силы трения, возникающей при латеральном относительном движении одной из пластин [5]. Первый расчет радиационного теплообмена между покоящимися пластинами (в рамках теории [2]) был выполнен Полдером и ван Ховом [6] в более простом случае двух одинаковых пластин и малой разности температур между ними. В отличие от этого, в [3,4] предполагалось, что материалы пластин 1 и 2 характеризуются однородными и изотропными свойствами с диэлектрическим проницаемостями и магнитными восприимчивостями ϵ_1, μ_1 и ϵ_2, μ_2 , являющимися комплексными функциями частоты ω . Кроме того, рассматривался также случай анизотропных сред. Позднее, задача радиационного теплообмена рассматривалась многими авторами, но формула для потока тепловой энергии воспроизводилась, как правило, либо без ссылок на [3,4] (см., например, [7, 8]), либо в другой эквивалентной форме [9,10].

Ситуация с работой [5] сложилась значительно более драматически: в конечных формулах для силы трения в линейном приближении по скорости появилась зависимость $F \propto V/c^3$ (c — скорость света в вакууме), тогда как позже несколько авторов получали линейные по скорости V и не зависящие от c выражения для этой силы (при конечной температуре пластин) [11,12], или зависимость $F \sim V^3$ в квантовом пределе нулевой температуры [13]. Эти противоречия „подлили масла в огонь“ длительной дискуссии относительно величины диссипативной силы, начавшейся еще ранее [14], и не завершенной до сих пор [10–13,15–20] (см. ссылки в [19,20]).

В этой работе мы покажем, что базисные результаты для силы трения и скорости радиационного теплообмена, полученные в [3–5], полностью согласуются со всеми результатами других авторов, полученными позже, тогда как зависимость $F \propto V/c^3$ и очень малая численная величина фрикционного напряжения 10^{-14}N/m^2 , полученная для металлических пластин при комнатной температуре, ширине щели 10 nm и относительной скорости 1 m/s, обусловлена использованным приближением для материальных свойств взаимодействующих тел. Мы провели независимые численные расчеты сил трения для пластин из золота, используя диэлектрическую проницаемость Друде, как в низкочастотном приближении $\epsilon(\omega) = i4\pi\sigma/\omega$ (σ — фиксированная проводимость, аналогично [5]), так и в общем случае $\epsilon(\omega) = 1 - \frac{\omega_p^2}{\omega(\omega + i/\tau)}$ (ω_p и τ — плазменная частота и время релаксации электронов). В обоих случаях полученные значения сил трения выше в 10^7 раз, чем в [5] при тех же условиях. Кроме того, оказывается, что сила трения металлических пластин значительно возрастает при температурах

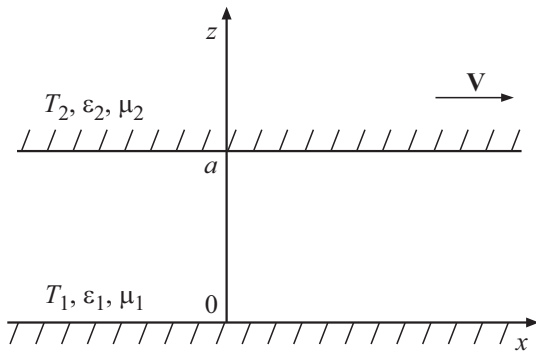


Рис. 1. Конфигурация системы.

$T < 50$ К, если зависимость времени релаксации электронов от T определяется законом Блоха-Грюнайзена.

2. Постановка задачи и общее выражение для тангенциальной силы, полученное Полевым

В конфигурации системы, использовавшейся в [5], декартова лабораторная система координат, связанная с пластиной 1 (рис. 1) выбрана так, что ось $z = x_3$ ортогональна границам пластин, ось $x = x_1$, без потери общности, параллельна скорости \mathbf{V} пластины 2, а ось $y = x_2$ (не показанная на рис. 1) ортогональна осям x и z . Температуры пластин считаются постоянными и равными T_1 и T_2 соответственно.

Следуя [5], результирующие плотности сил \mathbf{F}_1 и \mathbf{F}_2 , действующих на единицу площади поверхности пластин 1 и 2, отличаются только знаком: $\mathbf{F}_1 = -\mathbf{F}_2 = \mathbf{V}F/V$, где F — модуль диссипативной тангенциальной силы, действующей на единицу площади контакта движущейся пластины 2 в лабораторной системе отсчета, связанной с покоящейся пластиной 1. Сила F выражается в терминах потоков тепла P_1 и P_2 от пластин 1 и 2 (на единицу площади), где P_1 находится с помощью вектора Пойнтинга в системе отсчета пластины 1, а тепловой поток P_2 от пластины 2 находится в ее собственной системе покоя

$$F = \frac{1}{V} (P_1 + P_2/\gamma). \tag{1}$$

где $\gamma = 1/(1 - u^2)^{1/2}$, $u = V/c$. Тепловые потоки P_1 и P_2 определяются выражениями

$$P_1 = \frac{\hbar}{8\pi^3} \int_{-\infty}^{\infty} d\omega \int d^2k \left(\frac{\omega}{|\omega|} - \frac{\tilde{\omega}}{|\tilde{\omega}|} \right) \omega M(\omega, \mathbf{k}, \mathbf{u}) + \frac{1}{4\pi^3} \int_{-\infty}^{\infty} d\omega \int d^2k \left[\frac{\Pi(T_1, \omega)}{\omega} - \frac{\Pi(T_2, \tilde{\omega})}{\tilde{\omega}} \right] \omega M(\omega, \mathbf{k}, \mathbf{u}), \tag{2}$$

$$P_2 = -\frac{\hbar}{8\pi^3} \int_{-\infty}^{\infty} d\omega \int d^2k \left(\frac{\omega}{|\omega|} - \frac{\tilde{\omega}}{|\tilde{\omega}|} \right) \tilde{\omega} M(\omega, \mathbf{k}, \mathbf{u}) - \frac{1}{4\pi^3} \int_{-\infty}^{\infty} d\omega \int d^2k \left[\frac{\Pi(T_1, \omega)}{\omega} - \frac{\Pi(T_2, \tilde{\omega})}{\tilde{\omega}} \right] \tilde{\omega} M(\omega, \mathbf{k}, \mathbf{u}), \tag{3}$$

где \hbar — постоянная Планка, $\mathbf{k} = (k_1, k_2)$ — двумерный волновой вектор, параллельный границам щели, $\tilde{\omega} = \gamma(\omega - \mathbf{k}\mathbf{V})$, $|\mathbf{V}| = V$, $|\mathbf{u}| = u$, $\Pi(T, \omega) = \hbar|\omega|/(\exp(|\omega|/\omega_T) - 1)$, $\omega_T = T/\hbar$, T — температура в энергетических единицах, а интегрирование выполняется по всей области изменения волновых векторов. Функция $M(\omega, \mathbf{k}, \mathbf{u})$ имеет вид

$$M = \frac{4|q|^2}{|Q|^2} \left[\text{Im} \left(\frac{q_1}{\varepsilon_1} \right) \text{Im} \left(\frac{\tilde{q}_2}{\tilde{\varepsilon}_2} \right) (1 + \beta) |Q_\mu|^2 + \text{Im} \left(\frac{q_1}{\mu_1} \right) \text{Im} \left(\frac{\tilde{q}_2}{\tilde{\mu}_2} \right) (1 + \beta) |Q_\varepsilon|^2 \right] + \frac{4|q|^2}{|Q|^2} \left[\text{Im} \left(\frac{q_1}{\varepsilon_1} \right) \text{Im} \left(\frac{\tilde{q}_2}{\tilde{\mu}_2} \right) |\beta| |Q_{\mu\varepsilon}|^2 + \text{Im} \left(\frac{q_1}{\mu_1} \right) \text{Im} \left(\frac{\tilde{q}_2}{\tilde{\varepsilon}_2} \right) |\beta| |Q_{\varepsilon\mu}|^2 \right], \tag{4}$$

где $q_1 = (k^2 - (\omega/c)^2 \varepsilon_1 \mu_1)^{1/2}$, $q_2 = (k^2 - (\omega/c)^2 \varepsilon_2 \mu_2)^{1/2}$, $q = (k^2 - (\omega/c)^2)^{1/2}$. Комплексные значения квадратных корней выбираются из условия $\text{Re} q_{1,2} > 0$, а параметр β определяется соотношением

$$\beta = \frac{\gamma^2 u^2 q^2 k_\perp^2}{k^2 \tilde{k}^2}. \tag{5}$$

В (5), кроме того, $k_\perp^2 = [\mathbf{k} - \frac{\mathbf{u}(\mathbf{k}\mathbf{u})}{u^2}]^2$ и $\tilde{\mathbf{k}} = \mathbf{k} + (\gamma - 1) \frac{\mathbf{u}(\mathbf{k}\mathbf{u})}{u^2} - \gamma \mathbf{k}\mathbf{u}$ ($\tilde{\mathbf{k}}$ — волновой вектор в системе покоя пластины 2), а значок „тильда“ означает, что соответствующие величины, зависящие от ω и k берутся при $\tilde{\omega}$ и \tilde{k} . Величины Q_ε , Q_μ , $Q_{\varepsilon\mu}$, $Q_{\mu\varepsilon}$, Q в (4) имеют вид (a — ширина щели)

$$Q_\varepsilon = (q + q_1/\varepsilon_1)(q + \tilde{q}_2/\tilde{\varepsilon}_2) \exp(qa) - (q - q_1/\varepsilon_1)(q - \tilde{q}_2/\tilde{\varepsilon}_2) \exp(-qa), \tag{6}$$

$$Q_\mu = (q + q_1/\mu_1)(q + \tilde{q}_2/\tilde{\mu}_2) \exp(qa) - (q - q_1/\mu_1)(q - \tilde{q}_2/\tilde{\mu}_2) \exp(-qa), \tag{7}$$

$$Q_{\varepsilon\mu} = (q + q_1/\varepsilon_1)(q + \tilde{q}_2/\tilde{\mu}_2) \exp(qa) - (q - q_1/\varepsilon_1)(q - \tilde{q}_2/\tilde{\mu}_2) \exp(-qa), \tag{8}$$

$$Q_{\mu\varepsilon} = (q + q_1/\mu_1)(q + \tilde{q}_2/\tilde{\varepsilon}_2) \exp(qa) - (q - q_1/\mu_1)(q - \tilde{q}_2/\tilde{\varepsilon}_2) \exp(-qa), \tag{9}$$

$$Q = Q_\varepsilon Q_\mu - 4\beta k^2 \tilde{\mu}_2 (1 - (\varepsilon_1 \mu_1)^{-1}) (1 - (\tilde{\varepsilon}_2 \tilde{\mu}_2)^{-1}). \tag{10}$$

Мы сохранили все обозначения, использовавшиеся в [5], с единственной заменой $k, k_1 k_2 \rightarrow \mathbf{k}, k_1, k_2$.

3. Преобразование общей формулы при $u = V/c \ll 1$

В случае $u = V/c \ll 1$ мы имеем $\beta = 0$, $\tilde{\mathbf{k}} = \mathbf{k}$, и с учетом (10) формула (4) сводится к

$$M = 4|q|^2 \left[\text{Im} \left(\frac{q_1}{\varepsilon_1} \right) \text{Im} \left(\frac{\tilde{q}_2}{\tilde{\varepsilon}_2} \right) |Q_\varepsilon|^{-2} + \text{Im} \left(\frac{q_1}{\mu_1} \right) \text{Im} \left(\frac{\tilde{q}_2}{\tilde{\mu}_2} \right) |Q_\mu|^{-2} \right]. \quad (11)$$

Используя (11) и тождество

$$4\text{Im} \left(\frac{q_1}{\varepsilon_1} \right) \text{Im} \left(\frac{\tilde{q}_2}{\tilde{\varepsilon}_2} \right) \equiv - \left(\frac{q_1}{\varepsilon_1} - \frac{q_1^*}{\varepsilon_1^*} \right) \left(\frac{\tilde{q}_2}{\tilde{\varepsilon}_2} - \frac{\tilde{q}_2^*}{\tilde{\varepsilon}_2^*} \right), \quad (12)$$

а также аналогичное тождество с перестановками $\varepsilon_1 \leftrightarrow \mu_1$, $\tilde{\varepsilon}_2 \leftrightarrow \tilde{\mu}_2$ формула (2) для P_1 сводится (при $V = 0$) к формуле (6) в [3] для спектральной плотности потока энергии теплового поля (поскольку $\tilde{q}_2 = q_2$, $\tilde{\varepsilon}_2 = \varepsilon_2$). В этом случае $P_1 = -P_2$, $|P_1| = |P_2|$, а разный знак у этих величин обусловлен разным направлением потока тепловой энергии относительно пластин.

При $V \neq 0$, используя (6), выражение для $|Q_\varepsilon|^{-2}$ приводится к виду

$$|Q_\varepsilon|^{-2} = |\varepsilon_1 q + q_1|^{-2} |q \tilde{\varepsilon}_2 + \tilde{q}_2|^{-2} \times |1 - \Delta_{1e} \tilde{\Delta}_{2e} \exp(-2qa)|^{-2} |\varepsilon_1|^2 |\tilde{\varepsilon}_2|^2 |\exp(-2qa)|, \quad (13)$$

где

$$\Delta_{1e} = \frac{\varepsilon_1 q - q_1}{\varepsilon_1 q + q_1}, \quad \tilde{\Delta}_{2e} = \frac{\tilde{\varepsilon}_2 q - \tilde{q}_2}{\tilde{\varepsilon}_2 q + \tilde{q}_2}.$$

Для $|Q_\mu|^{-2}$ получается такое же выражение, как и для $|Q_\varepsilon|^{-2}$ с учетом очевидных замен $\varepsilon_1 \leftrightarrow \mu_1$, $\tilde{\varepsilon}_2 \leftrightarrow \tilde{\mu}_2$, $\Delta_{1e} \rightarrow \Delta_{1m}$, $\tilde{\Delta}_{2e} \rightarrow \tilde{\Delta}_{2m}$.

Интегралы в (2) и (3) содержат вклады от неоднородных волн ($k > \omega/c$) и от бегущих волн $k \leq \omega/c$. При $k > \omega/c$ имеем $q = |q|$, $|\exp(-2qa)| = \exp(-2qa)$, и (12) принимает вид

$$\left(\frac{q_1}{\varepsilon_1} - \frac{q_1^*}{\varepsilon_1^*} \right) \left(\frac{\tilde{q}_2}{\tilde{\varepsilon}_2} - \frac{\tilde{q}_2^*}{\tilde{\varepsilon}_2^*} \right) = - \frac{\text{Im} \Delta_{1e} \text{Im} \tilde{\Delta}_{2e}}{|q|^2 |\varepsilon_1|^2 |\tilde{\varepsilon}_2|^2} |\varepsilon_1 q + q_1|^2 |\tilde{\varepsilon}_2 q + \tilde{q}_2|^2. \quad (14)$$

При $k \leq \omega/c$ соответственно $q = -i|q|$, $|\exp(-2qa)| = 1$ и

$$\left(\frac{q_1}{\varepsilon_1} - \frac{q_1^*}{\varepsilon_1^*} \right) \left(\frac{\tilde{q}_2}{\tilde{\varepsilon}_2} - \frac{\tilde{q}_2^*}{\tilde{\varepsilon}_2^*} \right) = - \frac{(1 - |\Delta_{1e}|^2)(1 - |\tilde{\Delta}_{2e}|^2)}{4|q|^2 |\varepsilon_1|^2 |\tilde{\varepsilon}_2|^2} |\varepsilon_1 q + q_1|^2 |\tilde{\varepsilon}_2 q + \tilde{q}_2|^2. \quad (15)$$

Аналогичные (14), (15) тождества получаются путем замены $\varepsilon_1 \leftrightarrow \mu_1$, $\tilde{\varepsilon}_2 \leftrightarrow \tilde{\mu}_2$, $\Delta_{1e} \rightarrow \Delta_{1m}$, $\tilde{\Delta}_{2e} \rightarrow \tilde{\Delta}_{2m}$.

Подставляя (11)–(15) в (1)–(3), и принимая во внимание аналитические свойства функции $M(\omega, \mathbf{k}, \mathbf{u})$ [5]

$$M(\omega, \mathbf{k}, \mathbf{u}) > 0, \quad \omega \tilde{\omega} > 0, \\ M(\omega, \mathbf{k}, \mathbf{u}) > 0, \quad \omega \tilde{\omega} < 0, \quad (16)$$

получим следующее выражение для тангенциальной силы, действующей на движущуюся пластину 2 в лабораторной системе отсчета (отрицательные значения F_x соответствуют диссипативной силе трения)

$$F_x = - \frac{\hbar}{4\pi^3} \int_0^\infty d\omega \int_{k > \omega/c} d^2 k k_x \exp(-2qa) \times \text{Im} \Delta_{1e} \text{Im} \tilde{\Delta}_{2e} |D_e|^{-2} [\coth(\hbar \tilde{\omega} / 2T_2) - \coth(\hbar \omega / 2T_1)] - \frac{\hbar}{16\pi^3} \int_0^\infty d\omega \int_{k \leq \omega/c} d^2 k k_x (1 - |\Delta_{1e}|^2)(1 - |\tilde{\Delta}_{2e}|^2) |D_e|^{-2} \times [\coth(\hbar \tilde{\omega} / 2T_2) - \coth(\hbar \omega / 2T_1)] + (e \leftrightarrow m), \quad (17)$$

где $|D_e| = |1 - \Delta_{1e} \tilde{\Delta}_{2e} \exp(-2qa)|$, а слагаемые ($e \leftrightarrow m$) определяются такими же интегралами с заменами $\varepsilon_1 \leftrightarrow \mu_1$, $\tilde{\varepsilon}_2 \leftrightarrow \tilde{\mu}_2$, $\Delta_{1e} \rightarrow \Delta_{1m}$, $\tilde{\Delta}_{2e} \rightarrow \tilde{\Delta}_{2m}$. Подчеркнем еще раз, что в рассматриваемом случае $\tilde{\omega} = \omega - k_x V$.

Формула (17) полностью включает все результаты других авторов [10–13, 16–20] при $u = V/c \ll 1$, полученные в незапаздывающем и запаздывающем пределе. В частности, в пределе $T_1 \rightarrow 0$, $T_2 \rightarrow 0$ из (17) вытекает формула для силы квантового трения [13, 17]

$$F_x = \frac{\hbar}{4\pi^3} \int_{-\infty}^\infty dk_y \int_0^\infty dk_x k_x \int_0^{k_x V} d\omega \exp(-2ka) \text{Im} \Delta_{1e} \times \text{Im} \tilde{\Delta}_{2e} |D_e|^{-2} + (e \leftrightarrow m). \quad (18)$$

В свою очередь, в случае покоящихся пластин ($V = 0$), формула для результирующего потока энергии теплового поля P_1 от первой пластины (для определенности), принимая во внимание (11)–(16), сводится к [8–10]

$$P_1 = \frac{\hbar}{2\pi^3} \int_0^\infty d\omega \omega \int_{k > \omega/c} d^2 k \exp(-2qa) \times \text{Im} \Delta_{1e} \text{Im} \Delta_{2e} |D_e|^{-2} [n_1(\omega) - n_2(\omega)] + \frac{\hbar}{8\pi^3} \int_0^\infty d\omega \omega \int_{k \leq \omega/c} d^2 k (1 - |\Delta_{1e}|^2)(1 - |\Delta_{2e}|^2) |D_e|^{-2} \times [n_1(\omega) - n_2(\omega)] + (e \leftrightarrow m), \quad (19)$$

где $n_i(\omega) = 1/(\exp(\hbar\omega/T_i) - 1)$, $i = 1, 2$.

Другое, более компактное представление для силы трения, получается из (17) с учетом тождеств (13)–(15)

$$F_x = -\frac{\hbar}{4\pi^3} \int_0^\infty d\omega \int d^2k k_x \left[\operatorname{Im}\left(\frac{q_1}{\varepsilon_1}\right) \operatorname{Im}\left(\frac{\tilde{q}_2}{\tilde{\varepsilon}_2}\right) \frac{|q|^2}{|Q_\varepsilon|^2} + \operatorname{Im}\left(\frac{q_1}{\mu_1}\right) \operatorname{Im}\left(\frac{\tilde{q}_2}{\tilde{\mu}_2}\right) \frac{|q|^2}{|Q_\mu|^2} \right] \left[\coth\left(\frac{\hbar\tilde{\omega}}{2T_2}\right) - \coth\left(\frac{\hbar\omega}{2T_1}\right) \right]. \quad (20)$$

Заметим, что внутренний интеграл в (20) включает суммарный вклад неоднородных и однородных волн, а также магнитных и электрических составляющих. Формула (20) оказывается более удобной для численных расчетов силы трения металлических пластин. Таким же образом, общее выражение для P_1 (в случае $0 < V/c \ll 1$) можно записать в виде

$$P_1 = \frac{\hbar}{4\pi^3} \int_0^\infty d\omega \omega \int d^2k \left[\operatorname{Im}\left(\frac{q_1}{\varepsilon_1}\right) \operatorname{Im}\left(\frac{\tilde{q}_2}{\tilde{\varepsilon}_2}\right) \frac{|q|^2}{|Q_\varepsilon|^2} + \operatorname{Im}\left(\frac{q_1}{\mu_1}\right) \operatorname{Im}\left(\frac{\tilde{q}_2}{\tilde{\mu}_2}\right) \frac{|q|^2}{|Q_\mu|^2} \right] \left[\coth\left(\frac{\hbar\tilde{\omega}}{2T_2}\right) - \coth\left(\frac{\hbar\omega}{2T_1}\right) \right]. \quad (21)$$

Вполне очевидно, что (21) сводится к (19) при $V = 0$. Таким образом, фундаментальные результаты теории [3–5] (формулы (1)–(10)) полностью включают все результаты других авторов для скорости теплообмена и силы трения в конфигурации двух произвольных полубесконечных сред (толстых пластин) при их относительном движении.

4. Некоторые следствия и частные случаи

В дополнение к формулам (17), (18) и (20), вытекающим из (1)–(3), целесообразно рассмотреть другие известные предельные случаи.

При малых скоростях скольжения и достаточно высокой температуре $T_1 = T_2 = T$, $k_x V/\omega_w \ll 1$ ($\omega_w = T/\hbar$ — частота Вина), тепловой фактор в (17) и (20) принимает вид

$$\coth\left(\frac{\hbar\tilde{\omega}}{2T}\right) - \coth\left(\frac{\hbar\omega}{2T}\right) \approx -2k_x V \frac{dn}{d\omega},$$

$$n(\omega) = \frac{1}{\exp(\omega/\omega_w) - 1}. \quad (22)$$

С другой стороны, в разложении первого порядка по скорости V , величины со значком „тильда“ в (17) и (20) будут содержать не зависящие от скорости члены, и пропорциональные скорости члены. Поэтому, учитывая вид (20) и (22), приближение первого порядка по

скорости для силы трения принимает вид

$$F_x = \frac{\hbar V}{2\pi^2} \int_0^\infty d\omega \frac{dn(\omega)}{d\omega} \int_0^\infty dk k^3 \left[\operatorname{Im}\left(\frac{q_1}{\varepsilon_1}\right) \operatorname{Im}\left(\frac{q_2}{\varepsilon_2}\right) \frac{|q|^2}{|Q_\varepsilon|^2} + \operatorname{Im}\left(\frac{q_1}{\mu_1}\right) \operatorname{Im}\left(\frac{q_2}{\mu_2}\right) \frac{|q|^2}{|Q_\mu|^2} \right]. \quad (23)$$

Следует подчеркнуть, что все величины, входящие в $|Q_\varepsilon|^{-2}$ и $|Q_\mu|^{-2}$ (см. (13)) в этом случае не содержат значка „тильда“. В свою очередь, формула (17) запишется в виде

$$F_x = \frac{\hbar V}{2\pi^3} \int_0^\infty d\omega \frac{dn(\omega)}{d\omega} \int_{k>\omega/c} d^2k k_x^2 \exp(-2qa) \times \operatorname{Im}\Delta_{1e} \operatorname{Im}\Delta_{2e} |D_e|^{-2} + \frac{\hbar V}{8\pi^3} \int_0^\infty d\omega \frac{dn(\omega)}{d\omega} \times \int_{k\leq\omega/c} d^2k k_x^2 (1 - |\Delta_{1e}|^2)(1 - |\Delta_{2e}|^2) |D_e|^{-2} (e \leftrightarrow m). \quad (24)$$

В предельном случае абсолютно черных тел, $\varepsilon_1 = \varepsilon_2 = \mu_1 = \mu_2 = 1$, величина подынтегрального выражения в квадратных скобках (23) равна (-2) при $k < \omega/c$ и нулю в противном случае. Последующее вычисление интеграла приводит к результату

$$F_x = -\frac{\pi^2}{60} \frac{\hbar V}{c^4} \left(\frac{T}{\hbar}\right)^4. \quad (25)$$

Такая же формула получается из (24), поскольку $\Delta_{1e} = \Delta_{2e} = \Delta_{1m} = \Delta_{2m} = 0$. При $T = 300$ К и $V = 1$ м/с из формулы (25) следует оценка $F \sim 5 \cdot 10^{-15}$ Н/м², не зависящая от ширины щели.

В частном случае $\omega_w a/c \ll 1$ (т.е. $a \ll 7.6$ мкм при $T = 300$ К), используя приближение $(k^2 - \omega^2/c^2)^{1/2} \approx k$, получим $\Delta_{ie} \approx (\varepsilon_i - 1)/(\varepsilon_i + 1)$ и $\Delta_{im} \approx \frac{\omega^2(\varepsilon_i - 1)}{4k^2 c^2}$ ($i = 1, 2$). Тогда, для диэлектриков и плохих проводников, $\Delta_{im} \approx 0$, а (24) преобразуется к виду

$$F_x \approx \frac{\hbar V}{2\pi^3} \int_0^\infty \frac{dn(\omega)}{d\omega} d\omega \operatorname{Im}\left(\frac{\varepsilon_1 - 1}{\varepsilon_1 + 1}\right) \operatorname{Im}\left(\frac{\varepsilon_2 - 1}{\varepsilon_2 + 1}\right) \times \int_0^\infty dk k^3 \exp(-2ka) |D_e|^{-2}, \quad (26)$$

где

$$D_e = 1 - \left(\frac{\varepsilon_1 - 1}{\varepsilon_1 + 1}\right) \left(\frac{\varepsilon_2 - 1}{\varepsilon_2 + 1}\right) \exp(-2ka). \quad (27)$$

Для контакта проводников с диэлектрическими проницаемостями $\varepsilon_{1,2} = 1 + i4\sigma_{1,2}/\omega$, при условии $\omega_w/2\pi\sigma \ll 1$

будем иметь $|D_e| \approx 1$, и из (26) следует

$$F_x \approx -\frac{1}{64\pi^2} \frac{(T/\hbar)^2}{\sigma_1\sigma_2} \frac{\hbar V}{a^4}. \quad (28)$$

При $T = 300$ К, $V = 1$ м/с, $\sigma_1 = \sigma_2 = 10^{14}$ с⁻¹ (графит) и $a = 10$ нм формула (28) дает $F \sim 2.6 \cdot 10^{-6}$ Н/м². Причем следует отметить, что величина F_x уменьшается с увеличением проводимости материалов.

Для хорошо проводящих металлов, однако, приведенные выше оценки некорректны, и требуется более точный расчет. В [5], в частности, использовалось импедансное приближение с фактором $(k^2 - \varepsilon_i\mu_i\omega^2)^{1/2} \approx i(\varepsilon_i\mu_i)^{1/2}\omega/c = i\varepsilon_i\xi_i$ (где ξ_i — импеданс). Это в итоге привело к функциональной зависимости $F \sim VT^{7/2}/\sigma^{1/2}a$ при малой ширине щели для немагнитных металлов с $\sigma_1 = \sigma_2 = \sigma$ и $\mu_1 = \mu_2 = 1$. Соответствующая численная оценка, полученная в [5], составляла $\sim 3 \cdot 10^{-14}$ Н/м², при $\sigma = 5 \cdot 10^{17}$ с⁻¹ и тех же других условиях, предполагавшихся выше. Однако, как мы покажем далее, численный расчет с использованием точного фактора $(k^2 - \varepsilon_i\mu_i\omega^2/c^2)^{1/2}$ приводит к значительно более высоким оценкам силы трения.

5. Случай хорошо проводящих немагнитных металлов

Преобразуем формулу (20) к форме, удобной для последующего численного расчета. Сначала рассмотрим случай идентичных металлов $\sigma_1 = \sigma_2 = \sigma$, $\mu_1 = \mu_2 = 1$ с диэлектрической функцией $\varepsilon(\omega) = i4\pi\sigma/\omega$, аналогично [5]. Тогда будем иметь

$$(k^2 - \varepsilon\omega^2/c^2)^{1/2} = \left(k^4 + \frac{(4\pi\sigma\omega)^2}{c^4}\right)^{1/4} \exp(i\phi),$$

$$\phi = -0.5 \arctan\left(\frac{4\pi\sigma\omega}{k^2c^2}\right). \quad (29)$$

Чтобы найти вклад от неоднородных мод $k > \omega/c$, введем новые переменные $\omega = \omega_w x$ и $k^2 = (y^2 + \lambda_a^2 x^2)/a^2$ ($\lambda_a = \omega_w a/c$), $kdk = ydy/a^2$. Наиболее значительный вклад в интеграл (23) дает второй член в квадратных скобках. Соответствующий ему внутренний интеграл приводится к виду

$$\int_{\omega/c}^{\infty} dk k^3 \operatorname{Im}\left(\frac{q_1}{\mu_1}\right) \operatorname{Im}\left(\frac{q_2}{\mu_2}\right) \frac{|q|^2}{|Q_{\mu}|^2}$$

$$= \frac{1}{4a^4} \int_0^{\infty} dy y^3 (y^2 + \lambda_a^2 x^2) U_1^2 |Q_{\mu}|^{-2} \sin^2(\phi_1) \equiv \frac{1}{4a^4} I_{\mu 1}, \quad (30)$$

$$U_1 = [(y^2 + \lambda_a^2 x^2)^2 + \lambda^2 x^2]^{1/4}, \quad \lambda = \frac{4\pi\sigma\omega_w a^2}{c^2}, \quad (31)$$

$$|Q_{\mu 1}|^2 = |(y^2 + U_1^2 \exp(2i\phi_1)) \sinh(y) + 2U_1 \exp(i\phi_1) \cosh(y)|^2, \quad (32)$$

$$\phi_1 = -0.5 \arctan\left(\frac{\lambda x}{y^2 + \lambda_a^2 x^2}\right). \quad (33)$$

Вклад от однородных мод $k < \omega/c$ для этого слагаемого в (23) находится с помощью замены переменных $\omega = \omega_w x$ и $k^2 = \frac{\omega_w^2}{c^2}(x^2 - y^2)$, $kdk = -ydy\omega_w^2/c^2$. Тогда получим

$$\int_0^{\infty} dk k^3 \operatorname{Im}\left(\frac{q_1}{\mu_1}\right) \operatorname{Im}\left(\frac{q_2}{\mu_2}\right) \frac{|q|^2}{|Q_{\mu}|^2} = \frac{\omega_w^4}{4c^4}$$

$$\times \int_0^x dy y^3 (x^2 - y^2) U_2^2 |Q_{\mu 2}|^{-2} \sin^2(\phi_2) \equiv \frac{\omega_w^4}{c^4} I_{\mu 2}, \quad (34)$$

$$U_2 = ((x^2 - y^2)^2 + \tilde{\lambda}^2 x^2)^{1/4}, \quad \tilde{\lambda} = \frac{4\pi\sigma}{\omega_w}, \quad (35)$$

$$|Q_{\mu 2}|^2 = |(y^2 + U_2^2 \exp(2i\phi_2)) \sin(\lambda_a y) - 2yU_2 \exp(i\phi_2) \cos(\lambda_a y)|^2, \quad (36)$$

$$\phi_2 = -0.5 \arctan\left(\frac{\tilde{\lambda} x}{y^2 - y^2}\right). \quad (37)$$

Выполняя такие же замены переменных ω, k в интегралах, соответствующих первому слагаемому в квадратных скобках (23), будем иметь:

а) вклад неоднородных мод

$$\int_{\omega/c}^{\infty} dk k^3 \operatorname{Im}\left(\frac{q_1}{\varepsilon_1}\right) \operatorname{Im}\left(\frac{q_2}{\varepsilon_2}\right) \frac{|q|^2}{|Q_{\varepsilon}|^2} = \frac{1}{4a^4} \int_0^{\infty} dy y^3$$

$$\times (y^2 + \lambda_a^2 x^2) x^2 \tilde{\lambda}^{-2} U_1^2 |Q_{\varepsilon 1}|^{-2} \cos^2(\phi_1) \equiv \frac{1}{4a^4} I_{\varepsilon 1}, \quad (38)$$

$$|Q_{\varepsilon 1}|^2 = |(y^2 - x^2 \tilde{\lambda}^{-2} U_1^2 \exp(2i\phi_1)) \sinh(y) - i2x \tilde{\lambda}^{-1} y U_1 \exp(i\phi_1) \cosh(y)|^2. \quad (39)$$

б) вклад однородных мод

$$\int_0^{\omega/c} dk k^3 \operatorname{Im}\left(\frac{q_1}{\varepsilon_1}\right) \operatorname{Im}\left(\frac{q_2}{\varepsilon_2}\right) \frac{|q|^2}{|Q_{\varepsilon}|^2} = \frac{\omega_w^4}{4c^4} \int_0^x dy y^3$$

$$\times x^2 \tilde{\lambda}^{-2} (x^2 - y^2) U_2 |Q_{\varepsilon 2}|^{-2} \cos 2(\phi_2) \equiv \frac{\omega_w^4}{c^4} I_{\varepsilon 2}, \quad (40)$$

$$|Q_{\varepsilon 2}|^2 = |i(y^2 + x^2 \tilde{\lambda}^{-2} U_2^2 \exp(2i\phi_2)) \sin(\lambda_a y) - 2x \tilde{\lambda}^{-1} y U_2 \exp(i\phi_2) \cos(\lambda_a y)|^2. \quad (41)$$

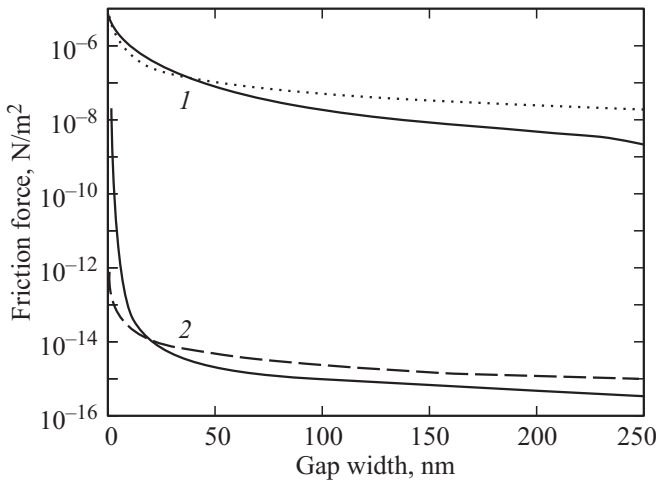


Рис. 2. Сила трения (42) (сплошная линия) и (43) (штриховая линия). Пунктирная кривая — аппроксимация $F \sim 1/a$, сплошные линии 1 и 2 соответствуют слагаемым $I_{\mu 1}$ и $I_{\epsilon 1}$. Используемые параметры: $\sigma_1 = \sigma_2 = 5 \cdot 10^{17} \text{ s}^{-1}$, $T = 300 \text{ K}$, $V = 1 \text{ m/s}$.

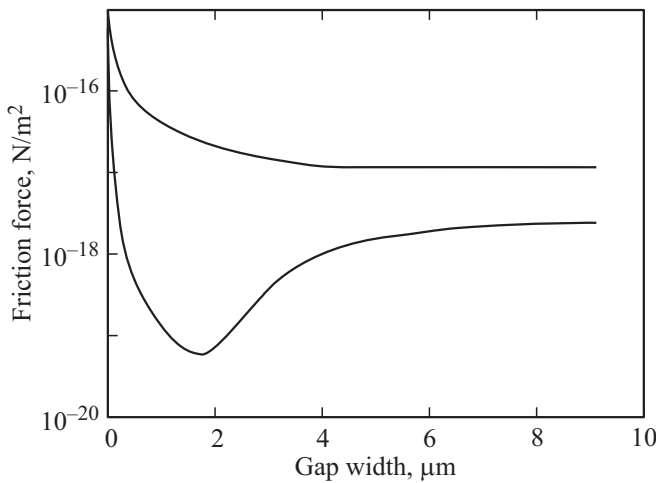


Рис. 3. Вклады в силу трения (42) от однородных мод, связанные со слагаемыми $I_{\epsilon 2}$ (верхняя кривая) и $I_{\mu 2}$ (нижняя кривая), $\sigma_1 = \sigma_2 = 5 \cdot 10^{17} \text{ s}^{-1}$, $T = 300 \text{ K}$, $V = 1 \text{ m/s}$.

Далее, подставляя (30), (34), (38), (40) в (23), получим

$$F_x = -\frac{\hbar V}{2\pi^2 a^4} \int_0^\infty dx \frac{\exp(x)}{(\exp(x) - 1)^2} \times (I_{\mu 1} + I_{\mu 2}(\omega_w a/c)^4 + I_{\epsilon 1} + I_{\epsilon 2}(\omega_w a/c)^4). \quad (42)$$

Как вытекает из (34), (40) и (42), зависимость силы F_x от ширины щели a для однородных мод значительно слабее, чем для неоднородных, поэтому при малой величине a вкладом неоднородных мод можно пренебречь. В свою очередь, вклады от неоднородных мод будут незначительны при большой ширине щели.

Значения сил F_x на рис. 2, 3, рассчитанные в низкочастотном приближении Друде с фиксированной прово-

димостью σ , здесь и далее приведены с положительным знаком. Сплошные кривые 1 и 2 на рис. 2 соответствуют слагаемым $I_{\mu 1}$ и $I_{\mu 2}$ в (42) (т.е. вкладам неоднородных волн). Штриховая кривая показывает импедансное приближение [5], в данном случае

$$F_p = -\frac{105\xi(7/2)}{2^{17/2} \cdot \pi} \frac{T^{7/2}}{\sigma^{1/2} \hbar^{5/2} c^3} \frac{V}{a}, \quad (43)$$

где $\xi(7/2) = 1.127$ — дзета-функция Римана. Вклады от однородных мод в (42), не показанные на рис. 2, пренебрежимо малы и показаны отдельно на рис. 3. Как следует из рис. 2, сила трения металлических пластин в области нанометровых расстояний оказывается в 10^7 раз выше, чем первоначальная оценка в [5]. В области расстояний $1 \leq a \leq 30 \text{ nm}$ сила трения убывает с расстоянием несколько медленнее чем $1/a$, но далее наклон зависимости становится ближе к $1/a^2$. Возрастание силы трения при малой ширине зазора физически обусловлено высокими значениями коэффициентов отражения металлических пластин, в результате чего электромагнитные волны, приобретающие доплеровский сдвиг из-за относительного движения пластин, многократно отражаются от них, что, в итоге, и приводит к увеличению силы трения. При этом величина силы трения на 7–8 порядков величины выше, чем в случае абсолютно черных пластин. Кроме того, доминирующий вклад в трение связан с магнитными слагаемыми (42), обусловленными вихревыми токами.

Весьма интересно рассмотреть температурную зависимость F_x , связанную с изменением времени релаксации и проводимости металла при понижении температуры, когда величина $1/\tau$ имеет порядок виновской частоты ω_w . Для этой цели мы провели расчеты с использованием функции Друде общего вида

$$\begin{aligned} \epsilon_D(\omega) &= 1 - \frac{\omega_p^2}{\omega(\omega + i/\tau)} = 1 - \frac{\omega_p^2 \tau^2}{\omega\tau(\omega\tau + i)} \\ &= 1 - \frac{\kappa_p^2(\kappa_w x - i)}{\kappa_w x(1 + \kappa_w^2 x^2)}. \end{aligned} \quad (44)$$

Здесь использована параметризация $\kappa_p = \omega_p \tau$, $\kappa_w = \omega_w \tau$, $x = \omega/\omega_w$. Зависимость $\tau(T)$ описывалась формулой Блоха–Грюнауэна [20]

$$\tau^{-1} = 0.0847(T/\theta)^5 \int_0^{T/\theta} \frac{x^5 \exp(x)}{(\exp(x) - 1)^2} dx \text{ (eV)}, \quad (45)$$

где θ — температура Дебая. В расчетах принимались значения $\omega_p = 9.03 \text{ eV}$ и $\theta = 175 \text{ K}$, соответствующие золоту. При вычислении интегралов в (30), (34), (38) и (40) с использованием (44), общая структура формул (30)–(42) не изменяется. Необходимые модификации формул (31), (33), (35) и (37)–(40) приведены в Приложении.

Результаты расчетов силы F_x в зависимости от температуры и расстояния показаны на рис. 4, а на рис. 5 — в зависимости от расстояния и температуры. Кривые 1–3 на рис. 4 соответствуют расстояниям 10, 100, 1000 nm, а кривые 1–3 на рис. 5 — температурам 5, 100 и 300 К. Как видно из рис. 4, сила трения резко возрастает при $T < 50$ К. Вывод о том, что оценка, сделанная в [5] (при $T = 300$ К), занижена в 10^7 раз, остается в силе. Из рис. 4, 5 следует также ошибочность утверждения о том, что сила трения максимальна в случае плохих проводников типа графита [10,13]. Зависимости от ширины щели для различных вкладов в силу F_x при $T = 300$ К демонстрирует рис. 6. Магнитные вклады $I_{\mu 1}, I_{\mu 2}$, от неоднородных и однородных волн показаны толстыми кривыми 1, 2, а электрические вклады I_{e1}, I_{e2} , от неод-

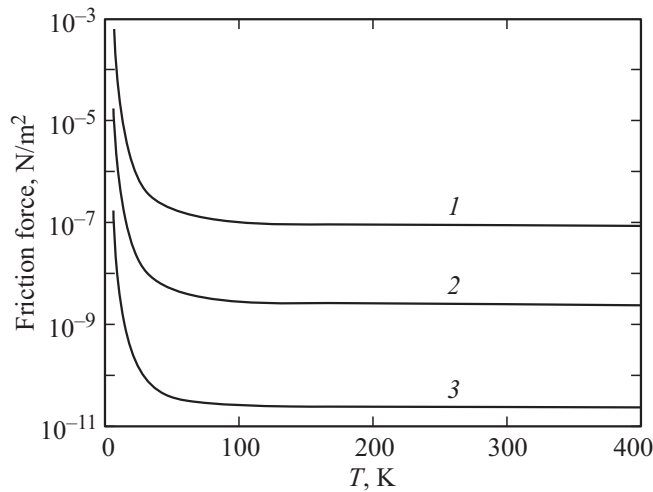


Рис. 4. Сила трения как функция температуры в приближении Друде (44) с учетом зависимости времени релаксации электронов τ от температуры T ($V = 1$ m/s). Кривые 1–3 соответствуют ширине щели $a = 10, 100, 1000$ nm.

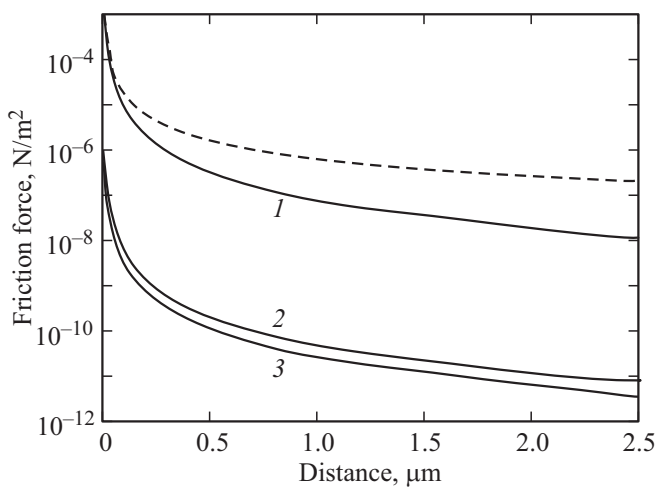


Рис. 5. Сила трения как функция расстояния в приближении Друде (44) с учетом зависимости времени релаксации электронов τ от температуры T ($V = 1$ m/s). Кривые 1–3 соответствуют температурам 5, 100 и 300 К. Пунктирная кривая — аппроксимация $F_x \sim a^{-1.3}$.

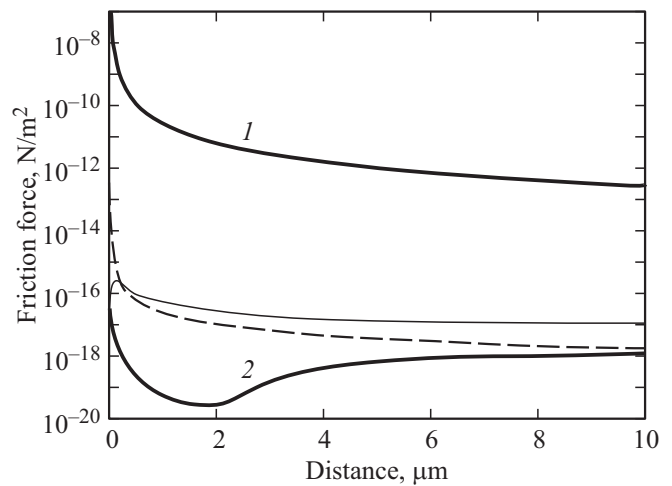


Рис. 6. Различные вклады в силу трения в приближении Друде (44). Сплошные линии 1 и 2 — вклады магнитных ближнеполюсных и однородных волн, тонкие сплошная и пунктирная линии — вклады электрических ближнеполюсных и однородных волн ($T = 300$ К, $V = 1$ m/s).

нородных и однородных волн — тонкими сплошной и пунктирной линиями. При других температурах соотношение различных вкладов качественно не изменяется. Поведение F_x при температурах $T < 1$ К необходимо исследовать более детально в связи с различными механизмами и альтернативными теоретическими моделями для коэффициентов отражения металлов при низких температурах [9,21–24] (см. далее).

Представляет также интерес сравнить значения сил трения с экспериментальными измерениями диссипативных сил в эксперименте [25], соответствующем геометрии сферического зонда (Au) с радиусом кривизны $1 \mu\text{m}$, движущегося над плоской поверхностью слюды, покрытой пленкой золота: $\sim 1.5 \cdot 10^{-13}$ Н при $a = 10$ nm, $V = 1$ m/s. Используя локально-плоское приближение Дерягина [26], сила трения в вакуумном контакте сферического тела с пластиной оценивается как $F_{sp} \approx \pi R a F_x(a)$. Из наших расчетов следует $F_x(a) = 1.6$ N/m² и $F_{sp} \sim 0.5 \cdot 10^{-13}$ Н при тех же условиях и $T = 1$ К, причем зависимость силы F_{sp} от расстояния (см. пунктирную кривую на рис. 5) близка к экспериментальной: $F_{sp} \sim a^{-\alpha}$ при $\alpha = 1.3 \pm 0.3$. Однако в [25] измерения проводились при комнатной температуре, а при понижении температуры до 77 К величина диссипативной силы уменьшалась в шесть раз, т.е. температурная зависимость не согласуется с нашими расчетами в рамках флуктуационно-электромагнитного механизма. В свою очередь, вклад электростатического (из-за наличия пятен заряда на поверхностях) и флуктуационно-электромагнитного трения в этом случае, по оценкам [10], оказывается на восемь порядков величины меньше экспериментальных значений при $T = 300$ К, и еще более уменьшается при понижении температуры из-за возрастания проводимости. Таким образом, вопрос о природе диссипативных сил, измерявшихся в [25], пока остается открытым.

6. Обсуждение и выводы

В п. 3 и 4 мы показали, что фундаментальные выражения для скорости радиационного теплообмена и силы трения двух толстых пластин, разделенных плоской щелью, полученные в работах Левина, Рыгова и Полевого, полностью согласуются с результатами других авторов в случае нерелятивистского относительного движения пластин. При этом численный расчет силы трения для хороших металлов приводит к значениям в 10^7 раз выше по сравнению с первоначальной оценкой Полевого (при комнатных температурах). Случай релятивистского движения представляет, главным образом, академический интерес и требует специального анализа. Рассмотрение сил трения для шероховатых поверхностей или поверхностей с наличием пленок не входило в нашу задачу, и, в принципе, может быть выполнено аналогично тому, как это делается при вычислении сил Казимира [21] или в расчетах диссипативных сил [10].

В свою очередь, из результатов расчетов п. 5 следует, что проведение экспериментов по измерению тангенциальной силы ван-дер-ваальсового трения становится вполне реальной задачей при использовании пробных сферических тел с радиусом $50\text{--}100\ \mu\text{m}$, применявшихся при измерениях сил Казимира [22–24]. Причем сила трения возрастает на несколько порядков величины с увеличением проводимости металлов (при температурах ниже 50 К), если время релаксации электронов в формуле Друде определяется законом Блоха-Грюнайзена. Между тем правомерность использования формулы Друде для описания диэлектрических свойств металлов при низких температурах подвергается критике в связи с ее недостатками при вычислении силы Казимира (см. [22–24] и ссылки). В частности, констатируется, что корректное описание силы Казимира между металлическими пластинами достигается с использованием плазменной модели диэлектрической проницаемости, когда $\tau = \infty$ в формуле Друде (44). В этой связи заметим, что формальное применение плазменной модели при вычислении силы трения приводит к полному обнулению вклада ближнеполюсных мод в формулах (20), (23) или (42), т.е. наиболее значительного по величине вклада в трение. Тем не менее возрастание силы трения при низких температурах связано именно с увеличением величины τ . С другой стороны, следует иметь в виду, что область частот, вносящих наибольший вклад в силу Казимира, существенно отличается (в большую сторону) от области частот, определяющих силу трения, для которой важны частоты $\omega \ll \omega_w$. Это связано с ролью планковского фактора $1/x^2$ в (42) при $x \ll 1$. Благодаря этому, на наш взгляд, реальный ход силы трения при низких температурах является более сильным индикатором для проверки моделей диэлектрической проницаемости по сравнению с измерениями сил Казимира. В отличие от силы Казимира, для которой можно указать диапазон расстояний, на которых температурный вклад преобладает, сила трения при $T \neq 0$ целиком обусловлена

виновскими частотами (т.е. имеет тепловой характер), а квантовая сила трения при $T = 0$ имеет совсем другую зависимость от скорости [13,18–20] и численно на много порядков меньше (при тех же остальных параметрах). В этой связи отсутствие тепловых поправок в экспериментах по измерению сил Казимира [22–24] не дает оснований для аналогии с поведением силы трения. Для последней, как следует из рис. 4, влияние температуры в достаточно широком интервале $50 < T < 400\ \text{K}$ мало и не зависит от расстояния a между пластинами.

Приложение

При вычислении интегралов в (30), (34), (38) и (40) с функцией Друде (44) целесообразно записать $\varepsilon_D(\omega)$ в виде

$$\varepsilon_D(\omega) = |\varepsilon| \exp(i\tilde{\phi}), \quad (\text{A1})$$

$$|\varepsilon| = \left[\left(\frac{1 + \kappa_w^2 x^2 - \kappa_p^2}{1 + \kappa_w^2 x^2} \right)^2 + \frac{\tilde{\lambda}^2}{x^2(1 + \kappa_w^2 x^2)^2} \right]^{1/2}, \quad (\text{A2})$$

$$\tilde{\phi} = \arctan \left(\frac{\kappa_p^2}{\kappa_w x (1 + \kappa_w^2 x^2 - \kappa_p^2)} \right), \quad (\text{A3})$$

где $\tilde{\lambda} = \kappa_p^2 / \kappa_w$. Соответственно, формулы (31), (33), (35), (37)–(41) для величин $U_{1,2}$ и $\phi_{1,2}$ приводятся к виду

$$U_1 = \left[\left(y^2 + \frac{\lambda_a^2 \kappa_p^2 x^2}{1 + \kappa_w^2 x^2} \right)^2 + \frac{\lambda^2 x^2}{(1 + \kappa_w^2 x^2)^2} \right]^{1/4}, \quad (\text{31a})$$

$$\phi_1 = -0.5 \arctan \left[\frac{\lambda x}{y^2(1 + \kappa_w^2 x^2) + \lambda_a^2 \kappa_p^2 x^2} \right], \quad (\text{33a})$$

$$U_2 = \left[\left(-y^2 + \frac{\kappa_p^2 x^2}{1 + \kappa_w^2 x^2} \right)^2 + \frac{\tilde{\lambda}^2 x^2}{(1 + \kappa_w^2 x^2)^2} \right]^{1/4}, \quad (\text{35a})$$

$$\phi_2 = -0.5 \arctan \left[\frac{\tilde{\lambda} x}{\kappa_p^2 x^2 - y^2(1 + \kappa_w^2 x^2)} \right], \quad (\text{37a})$$

$$I_{\varepsilon 1} = \int_0^{\infty} dy y^3 (y^2 + \lambda_a^2 x^2) U_1^2 |\varepsilon|^{-2} |Q_{\varepsilon 1}|^{-2} \sin^2(\phi_1 - \tilde{\phi}), \quad (\text{38a})$$

$$|Q_{\varepsilon 1}|^2 = \left| \left(y^2 + U_1^2 |\varepsilon|^{-2} \exp(2i(\phi_1 - \tilde{\phi})) \right) \sinh(y) + 2y U_1 |\varepsilon|^{-1} \exp(i(\phi_1 - \tilde{\phi}) \cosh(y)) \right|^2, \quad (\text{39a})$$

$$I_{\varepsilon 2} = \int_0^x dy y^3 (x^2 - y^2) U_2 |Q_{\varepsilon 2}|^{-2} |\varepsilon|^{-2} \sin^2(\phi_2 - \tilde{\phi}), \quad (\text{40a})$$

$$|Q_{\varepsilon 2}|^2 = \left| \left(y^2 + U_1^2 |\varepsilon|^{-2} \exp(2i(\phi_1 - \tilde{\phi})) \right) \sin(\lambda_a y) - 2y U_1 |\varepsilon|^{-1} \exp(i(\phi_2 - \tilde{\phi}) \cos(\lambda_a y)) \right|^2, \quad (\text{41a})$$

где $\lambda = \kappa_p^2 \lambda_a^2 / \kappa_w$. Выражения (32), (34), (36) и (42) должны использоваться с учетом сделанных модификаций для $U_{1,2}$ и $\phi_{1,2}$.

Список литературы

- [1] М.Л. Левин, С.М. Рытов. Теория равновесных тепловых флуктуаций в электродинамике. Наука, М. (1967).
- [2] С.М. Рытов. Теория электрических флуктуаций и теплового излучения. АН СССР, М. (1953).
- [3] М.Л. Левин, В.Г. Полевой, С.М. Рытов. *ЖЭТФ* **79**, 2087 (1980).
- [4] В.Г. Полевой. Теплообмен флуктуационным электромагнитным полем. Наука, М. (1990).
- [5] В.Г. Полевой. *ЖЭТФ* **98**, 1990 (1990).
- [6] D. Polder, M. Van Hove. *Phys. Rev. B* **4**, 3303 (1971).
- [7] J.J. Loomis, H.J. Maris. *Phys. Rev. B* **50**, 18517 (1994).
- [8] K. Park, Z. Zhang. *Frontiers Heat Mass Transfer* **4**, 013001 (2013).
- [9] V.B. Bezerra, G. Bimonte, G.L. Klimchitskaya, V.M. Mostepanenko, C. Romero. *Eur. Phys. J. C* **52**, 701 (2007).
- [10] A.I. Volokitin, B.N.J. Persson. *Rev. Mod. Phys.* **79**, 1291(2007).
- [11] B.N.J. Persson, Zhang Zhenyu. *Phys. Rev. B* **57**, 7327 (1998).
- [12] A.I. Volokitin, B.N.J. Persson. *J. Phys. C* **11**, 345 (1999).
- [13] J.B. Pendry. *J. Phys. C* **9**, 10301 (1997).
- [14] V.E. Teodorovich. *Proc. Roy. Soc. London A* **362**, 71 (1978).
- [15] T.G. Philbin, U. Leonhardt. *New J. Phys.* **11**, 03035 (2009); arXiv: 094.2148.
- [16] A.I. Volokitin, B.N.J. Persson. *New J. Phys.* **11**, 033035 (2009).
- [17] J.B. Pendry. *New J. Phys.* **12**, 033028 (2010).
- [18] J.S. Høye, I. Brevik. *Entropy* **15**, 3045 (2013).
- [19] K.A. Milton, J.S. Høye, I. Brevik. *Symmetry* **8**, 29 (2016).
- [20] G.V. Dedkov, A.A. Kyasov. *Phys. Usp.* **187**, 559 (2017).
- [21] K.A. Milton, R. Guerodt, G.L. Ingold, A. Lambrecht, S. Reynaud. *J. Phys. Condens. Matter* **27**, 214003 (2015).
- [22] M. Bordag, G.L. Klimchitskaya, U. Mohideen, V.M. Mostepanenko. *Advances in the Casimir effect*. Oxford Univ. Press, Oxford, UK (2009).
- [23] C.-C. Chang, A.A. Banishev, R. Castillo-Garza, G.L. Klimchitskaya, V.M. Mostepanenko, U. Mohideen. *Phys. Rev. B* **85**, 165443 (2012).
- [24] A.A. Banishev, G.L. Klimchitskaya, V.M. Mostepanenko, U. Mohideen. *Phys. Rev. B* **88**, 155410 (2013).
- [25] B.C. Stipe, H.J. Mamin, T.D. Stowe, Y.W. Kenny, D. Rugar. *Phys. Lett.* **87**, 9, 096801 (2001).
- [26] B.V. Derjaguin. *Kolloid Z.* **69**, 155 (1934).

Редактор Т.Н. Василевская